

# 莲子产量相关性状的 QTL 定位

刘正位<sup>1</sup>, 郭丹丹<sup>1,2</sup>, 彭 静<sup>1</sup>, 朱红莲<sup>1</sup>, 匡 瑄<sup>1</sup>, 季 群<sup>1</sup>, 王直新<sup>1</sup>,  
丁 毅<sup>3,\*</sup>, 柯卫东<sup>1,\*</sup>

(<sup>1</sup>武汉市农业科学院, 武汉 430070; <sup>2</sup>华中农业大学园艺林学院, 武汉 430070; <sup>3</sup>武汉大学生命科学学院, 武汉 430072)

**摘要:** 以中国长江流域圆柱形莲子资源‘中间湖野莲’为母本, 泰国圆球形莲子资源‘清迈野莲’为父本, 构建了含 86 个单株的 F<sub>2</sub> 遗传群体。2017 和 2018 年对亲本及群体黑子期莲子长、莲子宽、单粒质量、开花数、心皮数、饱粒数等 6 个莲子产量相关性状进行了表型鉴定, 利用 197 个 SSR 标记对亲本及 F<sub>2</sub> 单株进行基因分型, 结合表型和基因型数据对相关性状进行了 QTL 定位和分析。结果表明: 莲子产量相关性状在 F<sub>2</sub> 群体中均呈近正态连续分布, 表明均为多基因控制的数量性状。6 个莲子产量相关性状共检测到 28 个 QTL 位点, 分布在 7 条连锁群上, LOD 值变幅为 2.55~12.34, 可解释 5.5%~27.4% 表型变异率。贡献率 ≥ 10 的 QTL 位点有 25 个, 占 QTL 总数的 89.29%。黑子期莲子长(*bsl1*), 莲子宽(*bsw6*)、开花数(*fn4.1*, *fn5*)可在两年被稳定检测到, 贡献率变幅为 7.33%~17.6%。

**关键词:** 莲; 莲子; 产量性状; QTL 定位

**中图分类号:** S 645.1

**文献标志码:** A

**文章编号:** 0513-353X (2020) 08-1565-12

## QTL Mapping of Six Seed Yield Related Traits in Lotus

LIU Zhengwei<sup>1</sup>, GUO Dandan<sup>1,2</sup>, PENG Jing<sup>1</sup>, ZHU Honglian<sup>1</sup>, KUANG Jing<sup>1</sup>, JI Qun<sup>1</sup>, WANG Zhixin<sup>1</sup>,  
DING Yi<sup>3,\*</sup>, and KE Weidong<sup>1,\*</sup>

(<sup>1</sup>Wuhan Academy of Agricultural Sciences, Wuhan 430070, China; <sup>2</sup>College of Horticulture and Forestry, Huazhong Agricultural University, Wuhan 430070, China; <sup>3</sup>College of Life Sciences, Wuhan University, Wuhan 430072, China)

**Abstract:** In this study, a F<sub>2</sub> population of lotus including 86 individuals was constructed with the cylindrical type accession ‘Middle Lake Wild Lotus’ and spherical type ‘Chiang Mai Wild Lotus’ as female and male parents, respectively. By combining the phenotypic identification of the F<sub>2</sub> individuals and the parents in 2017 and 2018 with the genotyping by 197 SSR markers, QTL mapping of six yield-related traits (i.e., black seed length, black seed width, single seed weight, flower number, carpel number and seed number per seedpod) was carried out. The results showed that all the six yield-related traits were close to continuous normal distribution in the F<sub>2</sub> population, which indicated that these traits are quantitative traits controlled by multi genes. In total, twenty-eight QTLs that distributed on seven linkage groups were identified in the two years’ experiments, which explained 5.5%–27.4% of the phenotypic variation with LOD values between 2.55 and 12.34. Twenty-five QTLs (accounting for 89.29% of total QTLs) explained

**收稿日期:** 2020-05-26; **修回日期:** 2020-07-02

**基金项目:** 国家现代农业产业技术体系建设专项资金项目(CARS-24-A-12); 国家重点研发计划专项(2016YFD0100204-29)

\* 通信作者 Author for correspondence (E-mail: yiding@whu.edu.cn, wdke63@163.com)

more than 10% phenotypic variation. Four of the twenty-five QTLs [i.e., black seed length (*bs11*), black seed width (*bsw6*) and flower number *fn4.1*, *fn5*] were repeatedly identified over the two years, explaining 7.33% to 17.6% phenotypic variation.

**Keywords:** *Nelumbo nucifera*; lotus seed; yield trait; QTL mapping

莲 (*Nelumbo nucifera* Gaertn., 2n = 16) 主要有 3 种栽培类型：子莲、藕莲和花莲。子莲主要食用莲子，藕莲主要食用地下茎，花莲则主要供观赏。中国子莲主要分布于江西、福建、湖南、湖北、浙江等地，年栽培面积 10 万 hm<sup>2</sup> 左右，其需求量呈逐年上升趋势。

目前子莲育种以杂交或诱变育种为主，育种效率较为低下，现有育成品种少且遗传基础狭窄，不能满足产业发展需求。近年来，莲基因组学得到快速发展，中国科学院武汉植物园、武汉市农业科学院先后完成了莲基因组框架图测序 (Ming et al., 2013; Wang et al., 2013)。武汉大学利用高密度遗传图谱结合光学测序将莲基因组进一步组装到染色体水平 (Gui et al., 2018)，标志着莲分子研究进入后基因组时代。在遗传图谱构建方面，武汉植物园采用 SSR 标记和 SRAP 标记构建了第 1 张中国古代莲和美洲黄莲遗传图谱 (Yang et al., 2012)。随后该图谱被进一步完善，含 562 个序列标签集和 156 个 SSR 标记，共 9 个连锁群，总长 543.4 Mb (Zhang et al., 2014)。2016 年，武汉市农业科学院利用子莲和藕莲栽培品种构建的 F<sub>2</sub> 遗传群体，获得了含 891 个共整合标记，全长 556 cM，由 8 个连锁群构成较完整的遗传图谱 (Liu et al., 2016)。总的说来，莲分子研究仍较为落后，基因组有待进一步完善，仅少数遗传连锁图发布，迄今未见对莲性状进行 QTL 定位与挖掘的报道。

本研究中以定位子莲产量性状为目标，利用长江流域野莲‘中间湖野莲’为母本，热带野莲‘清迈野莲’为父本杂交构建了 F<sub>2</sub> 遗传群体，对群体黑子期莲子长、莲子宽、单粒质量、开花数、莲蓬心皮数、饱粒数等性状进行了为期两年的表型鉴定，结合亲本及群体基因型，开展了相关性状 QTL 定位和分析，以期为子莲分子辅助育种提供技术基础。

## 1 材料与方法

### 1.1 材料

采用的母本‘中间湖野莲’为长江流域代表性野莲，属亚热带生态型，花期短，莲蓬心皮数少，果实圆柱形，已完成染色体级别全基因组测序与组装 (Gui et al., 2018)；父本‘清迈野莲’收集自泰国，属热带生态型，花期长，心皮数多，为目前唯一的莲子圆球形野莲资源。2014—2015 年，通过亲本杂交、F<sub>1</sub> 自交获得 86 个 F<sub>2</sub> 株系，应用于表型鉴定和基因分型研究。

### 1.2 试验设计与性状考察

本研究在国家种质武汉水生蔬菜资源圃武汉江夏郑店完成。分别于 2017、2018 年 4 月中下旬，将亲本与 F<sub>1</sub> 各 3 株及 F<sub>2</sub> 株系 86 株定植于 2 m × 1.5 m 水泥池，随机区组排列。水泥池内填土深 30 cm，每池定植 1 支藕，按照常规田间管理。

2017 年、2018 年 6—10 月分别调查亲本、F<sub>1</sub>、F<sub>2</sub> 群体黑子期莲子长、莲子宽、单粒质量、开花数、心皮数、饱粒数等产量性状 (柯卫东和李峰, 2005)：取每个单株籽粒饱满的黑子期莲子 5 粒，测量莲子长与宽；计数与称量每个单株所有饱满老熟莲子数和单粒质量；收获整个生长期老熟莲蓬，统计每个单株的开花数（即莲蓬数）；选取莲蓬 5 ~ 10 个，调查心皮数和饱粒数。将调查数据输入

Microsoft Excel 2007 软件, 并进行数据统计与分析。

### 1.3 基因分型与 QTL 定位

利用 197 个 SSR 标记对亲本‘中间湖野莲’和‘清迈野莲’及其 F<sub>2</sub> 单株进行基因分型, SSR 标记引物序列见表 1 (Gui et al., 2018)。在 Excel 中将各株系表型数据和基因型文件按照 QTLiciMapping 软件 (Meng et al., 2015) 格式要求进行整理, 并导入 QTLiciMapping 软件, 采用混合线性模型计算各性状与 SSR 标记的关系和 LOD 值。以 LOD ≥ 2.5 为标准, 判断 QTL 存在与否, 估算 QTL 位点贡献率等参数。

表 1 SSR 标记引物信息表  
Table 1 SSR marker information

SSR 名称 SSR name	正向引物 (5' - 3') Forward primer	反向引物 (5' - 3') Reverse sequence
NnSSR004	AGTCGGTTGAATTGCCCTTTAATG	CAACTGTGAGAGTGGAGAGAGTGGG
NnSSR023	TACTGAGAGTTGTAGCAACCGGTGG	AGATGCCATGCTCATTGGTATT
NnSSR025	TGCAAATACAAGGCTTAGAAATACAA	TTTATTAGGATGTGGAATGACCC
NnSSR032	TTCGATTTGCAGACATTGGTAA	TCCAATGCCACCGATAGACAC
NnSSR036	CTGATCCTCTTCCCCATAGAGTCC	GCGACGTTGCCCTAGTTAACTAT
NnSSR039	CACATTGAAATTGAAAGCAATTGG	AAAGATTGGGCTTCATGTTTT
NnSSR051	TGGTGCTTATTCAGCTTAAAGGC	TTCACTCTCAGTAGTGGATGACG
NnSSR055	AGGATTGTTCCCAGTCTGAAAGGT	TTTTGTCTTCCCTACCCCTAACAA
NnSSR062	TTCCCTGTCACTCCCACTCTTT	TTGGGAGAACGTTAGAGATTGAGG
NnSSR066	TGATTGGTGCACACATAATCAAG	AGGGAACAGGAGAAAGACTAAGGG
NnSSR067	ACTGCAGTAGCAGTGTGAGGAAGA	CCACCAGTGCCTATCTCCCTTA
NnSSR075	CCTCCCTCCCTCTCCCTC	GCCCTCTAAAAACTGATAGACAGACAG
NnSSR076	TTCAAATCCTTCATCCAAGAAC	GGTTTTCGGCAAGTCCATATCCT
NnSSR077	AACATCCTCCTCAATCTATCCCTT	TCGATGAAAATAAGAAGAGGCTTT
NnSSR081	AGCATGGTGTACCTTGAGGAC	GATTCTGATTCCGATTCCAATTCT
NnSSR082	ACATCTATCCACCAATTCAAGCA	AGGGGTCACCTAGAGGTCAAAC
NnSSR083	AAATGAGAGAGGTGAGGTATGGGG	AGACGGGTGTAAACTACAAGGGGT
NnSSR084	AGAAGAAGAAGCAGCAGTAGCAGC	TGTAGTCGGACAAAATGTTCAA
NnSSR087	GCATTGAGCCATTCAAGATCTTT	ATGGATACGAGAATTGATGAGGGA
NnSSR088	ATCTTGCAATGTGAGAATCGATCA	AATAAGCTTGGTAAGCCAGGAGG
NnSSR092	AATCATTTCATCTCCCACTCCA	TGACCAAGAAGAAGAGTGGAGGAA
NnSSR097	TTTGGGAAAGATTGAAGAAACA	ATATCCACCAATCACCATTCGTC
NnSSR098	CAAAGTTCTGGCATCCTTCATAG	TTCACCCCTCTATCTTCGTTTT
NnSSR099	GAGAAGTGGATAATTGCCAACAA	ACATTGGATGCTTAAATGCATGG
NnSSR101	CAGACACTAACCATCGGTGAACAA	ATGTACGGGAAGCGAAATATGCTA
NnSSR104	TGAAAGCAGGTCAACCATTGATAG	TCCATGTATGTCTGTGCTTGTG
NnSSR105	TTAGGAATGGATTTGCTGGAAAGG	GGTGAATCATCATGGACTCTCGT
NnSSR106	GCTCTGTTGTATTGATGTCCA	GTTCCTCTCTCCCTCCATCGTC
NnSSR107	CAGACCTGTTCCATGTAATCAGA	CTTGGAGTTGTTGAAATCTGTAGGA
NnSSR110	GATCAGTTGCTTCAGTAGCTCA	TTAAACAAGGGACCCCTGAAAAG
NnSSR114	CGTGTACGTCTGGAAAGAAAGAAG	CCTCTCAAGCTCAACTGCGTGT
NnSSR115	AATGTGCGAGATGTTCTCAAGGT	ATAATGGTCCGGTTCCAGGTTAG
NnSSR118	ACTTGACTCTCCATCCCACAC	CTTGTTCAATGTGTCATCCATCC
NnSSR119	AGAGGTGCAGAAAACAGAGATTGG	TATGACAAACTTGCTCAAACGGAA
NnSSR120	TGGCATTAAATCCAATTGCTTTTC	GTTCGATGGAAGCTGAGCAAAGT
NnSSR121	ATGCAACGATAGAAGAGATGCTCA	AGCCAAAGTACAGGGTACTGATCG
NnSSR124	CTTGTGAAGTCTGCCCTCCTC	CTGCTTTAGCACCACGACCTAAG

续表 1

SSR 名称 SSR name	正向引物 (5' - 3') Forward primer	反向引物 (5' - 3') Reverse sequence
NnSSR129	AGAATGCATCATACTGCAAAACCA	CGCCAGGCTTATGGTTGAATA
NnSSR130	GAAGGGAGAGGAATAATTGCCAG	CTTCCTCCGTCAGAGTCAGTTT
NnSSR131	GTGTGATTGAAATGAACATTGGC	CAGCTTCCTCAATATCTTGGCATT
NnSSR132	CTGTTCAAACATGTCTCTGCAAC	TATTGCTGATGCTCTAAATTCCC
NnSSR133	ACCTTCTGAACAAACAAAGCTGG	ATCCATGGTTCCACCTTCATCTA
NnSSR134	CTTGGCAGTTCTTCTCCCTCT	AAATCGCAGTCTGTTCTCTTG
NnSSR135	GCCAAGCAGTTTGACACTGTG	AAATATAGGGCAGAACCCCTTT
NnSSR138	ACCCAACCTAACCATTAAGGCATA	ATTGATGGAGGTGAAATTAAAGC
NnSSR139	TTGTCAAGTCTTGTGCCACTGT	ACAACCTCCCTCACCTCTTCT
NnSSR141	TGCAACACGACAAGTCAGTAA	CACAAAATTGGCATCTTAGTCAGG
NnSSR143	GGGAAGAAGAAGAGAAGAGGAGGA	TCGATGTAATAGGTAGCCGCTTT
NnSSR144	CTTAACCCCTTGTGGTATGTCC	TGGTTAAAGAAATTGGAGTCCTGG
NnSSR148	CCATTGGCTGGTAAAGAGACTG	GCGATGAGGTAAAGATGACATGAGA
NnSSR149	GTAAACCAGGATTTCATGATCCA	TTTATGGGAAGGAAACCTCTCA
NnSSR151	TGGAGATGAAAAACGAAGAAGAAGA	CGTTCTGCACTACTGTTGCAAGT
NnSSR152	GCCCAAACTTGTGCTCTGATACC	CAGTCGCCCTGTATAATAGAGTGG
NnSSR155	CAAATTCTTCTGTTACGGATAGGT	ATCCTTGATTCGATGACTGAC
NnSSR156	TGAAGTTGAACACCCACTTCTCA	GCAAATCGAACCTATTCAAACACTG
NnSSR157	TCGGCCTCTAGTCATACATCTC	AGTTTCGGAGTTACCTCGTTTC
NnSSR158	TTGGTTGCCAAAGAAAAGTAGGAA	TGGGCTCTAGGAACATTACAGCA
NnSSR159	TAGCTCTGAGGAAGGCTCATT	CTAAACAAATTAACTGGGTTGTTTT
NnSSR160	TCATGATACAAAACCCATACAAACCC	GCTGCTAACATGGACCACCTTG
NnSSR164	GCCTCCTCTCCTCTTCTCT	AAAAGAGAAATCAGGAAGCCCTTG
NnSSR166	TCTCCTCTAAAATCATAGCCAAGCC	GGGGGATCTCTGGTATAATTGC
NnSSR167	CTCCAGCAAGCAACTAAACCAGAT	CTCTCATATGCAAAATGGTGCC
NnSSR168	TGGAATTCTATTGTTGCAGTGTACTT	CACACTTTGTGTGATTGACGAA
NnSSR171	TCAATGACACGAATGACTAATGGAG	GAATGCAAAGTTGCAGGTAATCC
NnSSR172	TATAATAGCAATGTTGGGCCACCG	TGCTAAACACTTCCTGGGTGTCA
NnSSR174	TGGAGAAGAACGAGCAAGAGGTTA	CAGTCGATTGTAGGCATTG
NnSSR175	CTAAGAATTGGAGTGGCTGAA	TCCTCCAATGTCATAGCAACAAA
NnSSR176	TCTTCGGACATGGATGTTCTTT	CCTAGGTGATTTCATGCTTGAAGA
NnSSR177	GCAGGGAACATAACCAATAGATG	TCGATATTTCAAGGATTTC
NnSSR178	GATTTCAGTAAGACCACGGAAAC	TGATACACAGACCTGTCCTCAT
NnSSR179	CCCATGCATATTCTTGTGTTACAGG	TCAAGCACCATTCTCTCAGAC
NnSSR181	TGAAGTGTAGTTGGGTTGAT	GATGGTGGCTCAATTGAGGTTT
NnSSR184	AGAACCTCGTTCTATTGTTCCC	GCGGTTAACATAAGGCCAAC
NnSSR185	ATGATTCTAGGGTTATGGGTTGG	TAGGACCTCTCAGTTGGGATTG
NnSSR186	GCATGCCATCCAATCTATGGTT	TTGGCTCTAAATCACCAGTATCAGG
NnSSR191	GAGTTCTCAACTCTAGGGTGAA	CAAAGCATCTCTCTATTTTCCC
NnSSR195	GAAAATTGAAACACCGAATCTGG	AGCTCACGGATACAGAAATCAAGG
NnSSR196	TCGAGCTGCTAAGTGTAAACCTCT	TGAAGGGTACCTCTATGACTGC
NnSSR198	GTGGCAAACCAGAAAGGAGTAATG	GATGAGGCAGCCAACAAGATAGAT
NnSSR200	ACTTCCATCCAAGAGAACAGATGC	TCATTGCTTCAATATTGTATGCC
NnSSR201	TCATATTGAAGTAACTAACACCAAA	AAGACAATAGAGGGGACAAGAAC
NnSSR204	TGTTGGGTCTGTTCTTCTG	AGGCCATATCACATTATGCGAAC
NnSSR205	ATGGGCAAGGATTCTCAGTGTAT	ACATAATTTCTCGTCGTTCCGAGA
NnSSR206	AACTAGCAGCGACGATCGAGAAT	GAGAGAGGTAGTGTAGGGTTGGGA
NnSSR207	GAATTCAAATGCTTCTCAACA	CTCTGCATGAATTACTCTGCAAAA
NnSSR208	AACCTTCCCACATGTTCTTCA	AGATGTTCTGCTCAAGACCAG
NnSSR210	AAATTCAATAACAGCTGGGATGAT	CGAATCCACAATCCTCTGTCATT
NnSSR212	GCAAGGAGTCTTCGAGGATTTA	AAAGAAAATGTGGGTTAGATAGATA
NnSSR213	TTCAAACCCATCGATTCTCAAT	TGGCATAGAATTAAACCTCCAGG

续表 1

SSR 名称 SSR name	正向引物 (5' - 3') Forward primer	反向引物 (5' - 3') Reverse sequence
NnSSR218	ACAAAGAATGTGGGTAGCTTCGTC	TTTGCCTGTAACACAGAAAAATTAA
NnSSR219	GTCGGCTGAAACTGGAAGAGTTA	GTCGTTGCTGCTGTAAGTCAC
NnSSR220	TACCAAATGAAGGGAGGCTATGAA	CTGCTTGCTTCTTATTGGTGCTT
NnSSR222	TTTGTCTATCCATTGCGTGTTC	ATCTCCCTCACTCTGCCTCTTT
NnSSR227	ATGAATCATTCTCAGGCCACAACC	TAGGCATCACCTAACGAAATGTTGA
NnSSR230	TTGGCTCTCCTGGTAAATCT	ATTGTTGCGAAAAGCTTGA
NnSSR231	CACCTGCACATTCTAAACCAAAAAA	TTTCTATCCACAGCGTCATTCAAA
NnSSR236	CCCATTGGAAAATAAGGAGGAC	CCTCCAATACCGTTGTGACTTT
NnSSR240	TCTCAGATTGGAGTCGTCTTG	CGTCAACCTCACAATTCCTCTT
NnSSR241	CGTTCATCTTCCCAGAACATCTAG	AAGAAGGGGCTAGACTATTGAGGC
NnSSR243	AAGCTCACAAATCCAGCTGTAAG	ATATGGCTGTTCTGTTGCCTTC
NnSSR245	GCTAATTCTGCCACATTTCTT	TGGGCACACATATTCTTAGTCATCA
NnSSR246	AAATGTACCGTACACTGCCAGAT	ACCCACTCTATCAAAGCACCAGG
NnSSR247	TTTCTCATTGCGAACAGAGATTG	CTGGAGTTGCACAAACGATGACTA
NnSSR248	TAGAAATTGCGTTGGAGGTACGA	ACACAGACACCATGGATGAGAAAAA
NnSSR249	TGGACCAAACCCAAACTAACATACCA	CTGCATGTGCCATTTAAATTAG
NnSSR251	GAGAGGTTGGCTGGACTATTCT	TCTGACACAATACAGCACCCCTGT
NnSSR252	GGTTCTCATGCTTTGCCTCTT	TGCAGTGAGGAAATTACAGAGCA
NnSSR253	AGTTCCATGCCAGGCTCTTAAGAT	CTGCAATTCATCTTCCTGGAAGT
NnSSR257	GTGGTGGTGAAGGTAGAGGAGAAA	GACGGAGATCTGTTCATAGTGGG
NnSSR260	CAAGCTTAAAGTCCAGAACGGA	AGATTTTCCCTCGAGGTTCTG
NnSSR261	AGACTAGTGAGATGCATTGCGCA	GACTTGGAACATGCTATAGTGTGGG
NnSSR262	AACGCACAACGGTAGAACATGGTAGT	GTGTTGTTAGTCGGGGAGAG
NnSSR264	TGCTATATAAACACTCGGTGCCCT	GAGAAGTTGCCATTGATTGAGT
NnSSR266	TGTAAGACTTTGAGAACAGGGCAAC	TCTTCTCTCAGGCAAATGGTTC
NnSSR269	TCTCCTGCAATTCCAGTAAGGAAC	GCAGAGCTCAATTCTAATCCCA
NnSSR270	TAACAAACGATGGAATTATGCTGGA	ACTTGATAAAATTGCGTTGCATT
NnSSR271	GGCATTCCGGTTATGAGTCATC	ACACAGGACTCATGAGCCAACCTC
NnSSR272	GCAGTAGACGAGCCATTGAAGATT	AAAAAGGAGCACATAGATCGGAGA
NnSSR274	TGAGAAGGAGGTGGTGGTTAAAAA	GGCAAACAGTACAACAATCGATGA
NnSSR275	ATATGTGGAGCTCATGGTAGCG	TTCTGAGAGCATTACCAAGGAAGG
NnSSR276	TAGCCCACATGAAACAGATGTGAAT	CCCCACCAAGGTAAGGTAGAAACTT
NnSSR277	AGTGAACACGGAGAAATGATGACTTG	GGAGTGGAGCCTACATCTCTCA
NnSSR279	TTTGAACACACAGCTTAAAGGGAG	GCTCAACTCTGAACTTGTTCAG
NnSSR284	TTCCCTTGTATTCTCTGCCCTC	TGTGGCAGATAGCCGTTAGTGTAA
NnSSR288	GAACCTACAGCAACGGTAATGAAA	GAGATCTGGAGAGCAGACTAGAGA
NnSSR289	CTGGAGCTGGCAATTATATTCA	TCTTCCTCCTTCCCTTGAGTCT
NnSSR291	CTATTCCCCATGATTGCTTTGAC	CCACTGCCGCTATAAAAGAGTTGT
NnSSR292	ACAACCAAGATTGATGAGCGTT	TAACCCCTCCCTCTTCTCATCT
NnSSR293	AATTCCCGCCTCAAACCTTTA	TAAGAAAGCTTCTGGTTGCAGG
NnSSR295	GTTTCTTCAGCACTCCCTCC	GAGTGATTTCTCGTCCCTGT
NnSSR296	GAATCTATTCAATTACACCTTCCAA	TCTTGTCTAAAGCAATTACCAACA
NnSSR297	AAGGGGATTTATCGGTATTTAGG	TGTGAAATCTTCCTTTAGCTCA
NnSSR299	CTGGAGCAATTGGAGCCATTATAG	GCGCATAGTGAATGCTCTTGCT
NnSSR304	GGTTCAAGTCCAACCAATTACAC	CAATTTCATGATTGCTTGGTT
NnSSR306	GTTGCAAACAGAGAACGGTAAGGT	AAAATCCACAAGCGATTCTTCAA
NnSSR308	ACTCAAGTTAAAGGGGGAGGACAC	AAAGGATGAGGCTACATCAAGCAC
NnSSR313	TGACTTATGGTCTCTTGTGGGA	TGGACAAATGAATGAAAATAGAGCA
NnSSR315	AGCTAAGAAGGCCAGAACGCTAAG	ACAAACAAAACAAGACCACCCGT
NnSSR317	GACGATCAGTTAACGGAGATCCAAACCT	TGCATGTGGTGTCTATCTCTCA
NnSSR320	AAAGACTGCTATTGAAACCAACCG	GGGCTTGAGCTTACAAGGAATT
NnSSR324	GGACACTTGAATACCAATTCTCTC	TGTCTCCTCATTTCATGCAACTA
NnSSR325	CCACCACTTACCAAACATCTGTCA	CAAAAGATGAGAGAAATGCGTAA

续表 1

SSR 名称 SSR name	正向引物 (5' - 3') Forward primer	反向引物 (5' - 3') Reverse sequence
NnSSR334	TCCACTTGCAGACTGTAGATGCTC	TGGCTCTTTGTCTCCAATTCTC
NnSSR335	CATGCTCATACATAAACGTTCCCG	CTCGAAATTGGATTGCGGTAAAC
NnSSR336	ACGTGTACCTGCCTACCTGTATT	TTGAGATTAGCGGGAGAAAGAGAG
NnSSR337	AAGGATGGGCATAGGAGGAAGTAG	CCATCGAACATTGAACACCACAA
NnSSR338	CATCCACCTTACAACCAAAACCAT	GTTGCAAACATGCAATTCTCTTG
NnSSR340	CACAACCATGGAGATTGGAGTACA	TGAAGGAGTTCTTACAAAGCGAG
NnSSR342	TGAAGGATGAGTTCTAGTGGAGG	TTGTGCTACAAACAACAAACCTCT
NnSSR344	CGTTTGTAAAGTTGCTTCTTGC	AAAACCAACCAAACCATTAACCTAA
NnSSR345	GAGAGACACTGATAAGGTCCGTG	TTTGGACCACITTTCTTCTTCG
NnSSR349	TCTCTCTCGAGCTTCAGGTCTTC	TATTATCCCAGTCCTCTTGT
NnSSR351	GATGAAGTGGCCGAATAAGAACAT	GAGTTCATGAAGGACGAAGAGGAA
NnSSR352	GGCCTAAGAAGATATGGGTGTCAA	GGCAATATTGAGTCATAAGATTGGG
NnSSR354	ATCCTACACTGGACGGTTACCAA	GTTACTCAAAGAACATGCCCTCCT
NnSSR356	CGTTGCATGTTATTCTCCATTG	TCCAACCATTAGCATTACCCATT
NnSSR357	CAGCAATGTAACCTGGACTCATGG	GAAGCCGAGTTCACATCACAAATAA
NnSSR358	CATTCGACAACAAAACAACCAA	CCTCCCCATACCTTCTTGAECTT
NnSSR359	ACCTTCCCTTTGCTGAAACCT	TGCTAGTGTATTGAACCAGTGG
NnSSR360	TATTCTACTTCAAAGGCCACGGA	TTGAGCTGTACACTCCACATCC
NnSSR361	CCCTGCCTTGTACCTATCTCTCA	ACAATTGCAATTGGAACCATCTT
NnSSR365	CACATACAACACATGCCAAACCT	CAACTCTGACCTATGAAAATGAAACCT
NnSSR368	ACAGTGCACCACCATCTGCTAT	ATTGTTCATCTCTTCGTACACG
NnSSR371	TCAATAGCCCTGTTTGCTATT	CAAAATTGCCATGAATAACCAAGA
NnSSR372	TGGTCTACAATCCGATCAAAC	GGTTCAATCTATTTCAGCCCTCAC
NnSSR373	TAGATATTCACTTCGCCAACTCC	ACCTCCCTCACACCAAGACAGACTC
NnSSR374	GCCCACAGAATATGCCCTGTGA	ATTTGTTGAAAGCATGTCCTGGGT
NnSSR375	GGTTCAACAGTGTCCATTGATTG	TTATATTGGTAGACCCCCAACAG
NnSSR378	AGTCTGACTCAACTCGTCGTCGT	CTCTCCTCCCTTCTGTACATGTA
NnSSR379	TTATTAAGAAGCCAAGCCAAGC	TGGCGAGAGAAATCCAAAATAAT
NnSSR380	AGTATGAATGCCAATTCCAAT	GAACACAGAAAAATGACCTACGCC
NnSSR381	CCAATAGCTTATGGATTTCGGAGA	CTAGGTCAACCTCTTCAAGCAT
NnSSR387	GATCATTTCCCTCCAACGGTAT	GGAGCTCCGATGGTCAAGTTAGTA
NnSSR388	TCTGTCAAAGAAGAAACTTCAGGC	TTGCTGAAGGGTCAGATGTAGTC
NnSSR389	TCTCTCGCTCGGTACATCTCTAT	AGAGAGAATCGCTGATGTCCAATC
NnSSR390	TCAGTCTCCCCAGGTATCAATCTG	AGGGGAGACTCACGTAATTAGGGC
NnSSR392	CCAAGTAACCAACACGAACCATTA	TCAGAGGCTATCGTCGAGTCTTCT
NnSSR398	TATGGAAGACACTTCTGGGAAGC	TCCCTATTAAGGAATTGGCATT
NnSSR399	CCGCTAGAGGGATTCTTTGTCT	TTCTTAGTGAATGGCTGGAAAAA
NnSSR400	TGTGAAGCAGAGGATGTTGAGAAC	CCTCTGCCCTCTTTCTCTTCT
NnSSR403	GAAGGACAGCGCAATTCTTCTTA	GCAATTTCATTACATGGATCAGC
NnSSR408	CAACAGCAGGAACAGAACAGCTAG	CGTGCACCTGATTTCCATCAC
NnSSR409	AGAGCACTAGAATGATGGCAACCT	TTAACGCATCTGAGAGATGATGGA
NnSSR417	TTGAGAAGTTGTCGACTGAAAGAGTT	TAATCCAGTTTCAACCATCACCA
NnSSR418	CCATAAATAGGGCCATACCCATA	AAAGTCCAAGGCAGTGGTGGTAAC
NnSSR420	AGGACACCGACATCAACAGGTAAAT	TGGTTGAGTTGGGAAGATAGGAA
NnSSR426	TGGAGTGGAGACTCTAGTGAAGGGG	TCCTCTCTCTCTTCTCCCTTTC
NnSSR428	TCTGCCATAGGTTGTATTTGGA	GCAGAGTGGGATTTAACTGGAAA
NnSSR433	CGGGAACCAGAAAGGAATAAAGTAA	AATTGCTTAGGGGCCTTAATCTG
NnSSR434	GATGATAACCCACTGAACGAGGAG	GTAATCATGGAATTGAGGAGGGTG
NnSSR436	TCATCACCAATCTGCTAAATGT	ACCTTCGTTAAATCCCTTGAA
NnSSR438	CGCATCTCTCCTCTTCTGTA	GGCCGAGATTCACTGACTACTA
NnSSR440	GCTATTTAGTCCTCAAACCCCAA	CCGTCAACGTTCAAGTACCTACC
NnSSR443	GAAGCCAGACACAGACAGATTGA	GTCCACGAAAAGCTCCAATTATG
NnSSR445	TTGAGAAGAAGGAAACTCACCTG	ACTGTACTCCGGCTCTCTCTCA

## 2 结果与分析

### 2.1 亲本、F<sub>1</sub>、F<sub>2</sub>莲子产量相关性状表型鉴定分析

2017、2018 年对亲本 P<sub>1</sub> (中间湖野莲)、P<sub>2</sub> (清迈野莲)、F<sub>1</sub> 及 F<sub>2</sub> 单株黑子期莲子长、莲子宽、单粒质量、开花数、心皮数和饱粒数性状进行考察 (表 2)。两年平均, ‘中间湖野莲’ (P<sub>1</sub>) 黑子期莲子长、宽、单粒质量为 1.74 cm、1.0 cm、1.20 g, 开花数、心皮数、饱粒数为 29.8 个、20.7 个、13.6 个; ‘清迈野莲’ (P<sub>2</sub>) 黑子期莲子长、宽、单粒质量为 1.33 cm、1.25 cm、1.03 g, 开花数、心皮数、饱粒数为 48 个、34.3 个、17.8 个。两亲本间主要莲子产量相关性状均具有显著差异。F<sub>1</sub> 单株黑子期莲子长、宽、单粒质量为 1.61 cm、1.2 cm、1.32 g, 开花数、心皮数、饱粒数为 20.9 个、27.6 个、19.4 个。F<sub>1</sub> 单粒质量、饱粒数明显高于两亲本, 具有较高的正向杂种优势; 黑子期莲子长、宽、心皮数性状在中亲值附近, 无明显杂种优势; F<sub>1</sub> 开花数显著低于双亲, 说明开花数呈现负向杂种优势。

表 2 亲本、F<sub>1</sub> 及 F<sub>2</sub>群体的 6 个产量相关性状表型  
Table 2 Phenotype for the six yield-related traits in parents, F<sub>1</sub> and F<sub>2</sub> population in two years

年份 Year	世代 Population	黑子期莲子长/cm Black seed length	黑子期莲子宽/cm Black seed width	单粒质量/g Single seed weight	开花数 Flower number	心皮数 Carpel number	饱粒数 Seed number
2017	P <sub>1</sub>	1.72 ± 0.03	0.99 ± 0.01	1.18 ± 0.04	32.0 ± 2.8	15.9 ± 0.1	12.4 ± 3.7
	P <sub>2</sub>	1.35 ± 0.01 <sup>**</sup>	1.27 ± 0.01 <sup>**</sup>	0.98 ± 0.03 <sup>*</sup>	52.5 ± 3.5 <sup>**</sup>	33.0 ± 1.4 <sup>**</sup>	15.8 ± 0.2
	F <sub>1</sub>	1.58 ± 0.03	1.16 ± 0.03	1.28 ± 0.05	23.0 ± 2.8	26.5 ± 2.8	18.8 ± 2.2
	F <sub>2</sub>	1.64 ± 0.11	1.11 ± 0.07	1.22 ± 0.74	30.1 ± 18.8	14.1 ± 4.7	25.5 ± 5.0
2018	P <sub>1</sub>	1.76 ± 0.08	1.00 ± 0.02	1.21 ± 0.08	27.5 ± 1.9	23.4 ± 1.5	14.8 ± 1.8
	P <sub>2</sub>	1.30 ± 0.04 <sup>**</sup>	1.23 ± 0.01 <sup>**</sup>	1.08 ± 0.06 <sup>*</sup>	43.5 ± 2.1 <sup>**</sup>	35.6 ± 0.6 <sup>**</sup>	19.8 ± 1.1 <sup>**</sup>
	F <sub>1</sub>	1.65 ± 0.02	1.19 ± 0.13	1.37 ± 0.01	18.7 ± 3.5	28.7 ± 2.3	20.0 ± 3.1
	F <sub>2</sub>	1.60 ± 0.10	1.15 ± 0.07	1.19 ± 0.17	29.5 ± 13.9	25.4 ± 5.6	14.7 ± 5.0

注: \* P<sub>1</sub> 与 P<sub>2</sub> 在 0.05 水平差异显著, \*\* 在 0.01 水平差异显著。

Note: \*, \*\*: Significant difference at 0.05 and 0.01 levels, respectively.

F<sub>2</sub> 株系与莲子产量相关的各个性状变异范围较广, 频次分布图均为单峰的近正态分布 (图 1), 表现出典型多对基因控制的数量性状遗传特点, 适合于 QTL 定位分析。

进一步进行相关性分析, 结果 (表 3) 表明: 莲子单粒质量分别与黑子期莲子长、莲子宽呈极显著正相关 ( $P < 0.01$ ); 饱粒数与所有调查的性状均表现出显著或极显著正相关 ( $P < 0.05$  或  $P < 0.01$ ), 相关性大小依次为心皮数 > 单粒质量 > 莲子宽 > 莲子长 > 开花数。

表 3 莲子产量相关性状的相关性分析  
Table 3 Correlation coefficients between seed yield-related traits in F<sub>2</sub> population

性状 Trait	黑子期莲子长 Black seed length	黑子期莲子宽 Black seed width	单粒质量 Single seed weight	开花数 Flower number	心皮数 Carpel number	饱粒数 Seed number
黑子期莲子长 Black seed length	1					
黑子期莲子宽 Black seed width	0.227 <sup>*</sup>	1				
单粒质量 Seed weight	0.524 <sup>**</sup>	0.731 <sup>**</sup>	1			
开花数 Flower number	0.04	0.062	0.051	1		
心皮数 Carpel number	0.047	0.21	0.077	0.16	1	
饱粒数 Seed number	0.289 <sup>**</sup>	0.392 <sup>**</sup>	0.405 <sup>**</sup>	0.229 <sup>*</sup>	0.597 <sup>**</sup>	1

注: 相关系数在  $P < 0.05$  水平显著, \*\* 相关系数在  $P < 0.01$  水平显著。

Note: \*, \*\*: Correlation is significant at  $P < 0.05$  and  $P < 0.01$ .

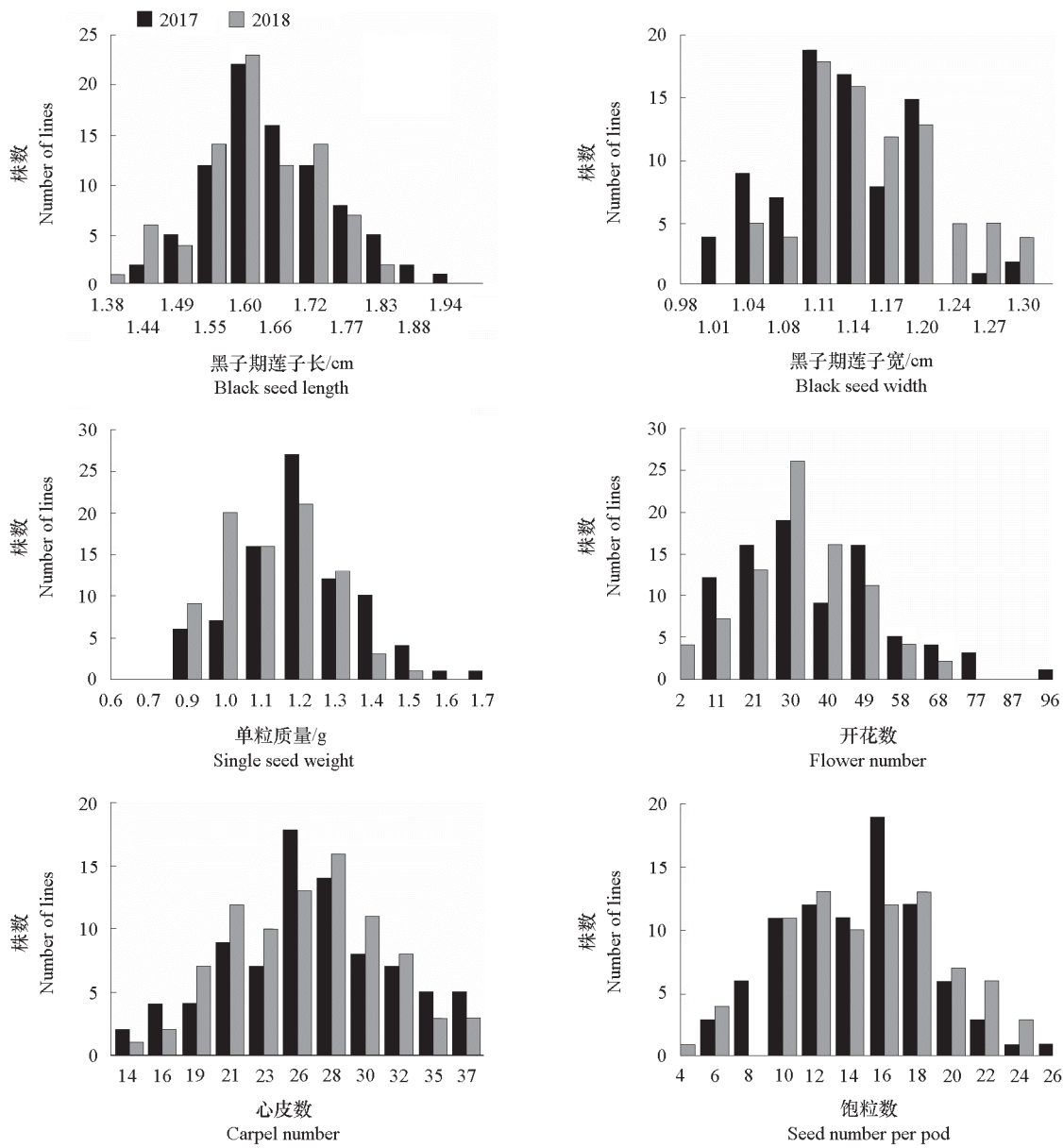


图 1  $F_2$  群体莲子产量相关性状频次分布图  
 Fig. 1 Phenotypic variation of seed yield related-trait frequency distribution for  $F_2$  population in two years

## 2.2 SSR 遗传图谱构建

将群体基因型数据输入 QTL IciMapping 软件，利用最大似然法计算标记间重组率和 LOD 值，构建了包含 197 个 SSR 标记的遗传图谱。遗传图谱总图距长 1 073.18 cM，标记间平均图距为 5.45 cM，由 8 个连锁群构成(LG1 ~ LG8)，连锁群平均长度为 134.15 cM。最大的连锁群为 LG3，长 419.97 cM，含 74 个 SSR 标记，最小的连锁群为 LG8，长 5.99 cM，仅含 3 个 SSR 标记。遗传图谱如图 2 所示。

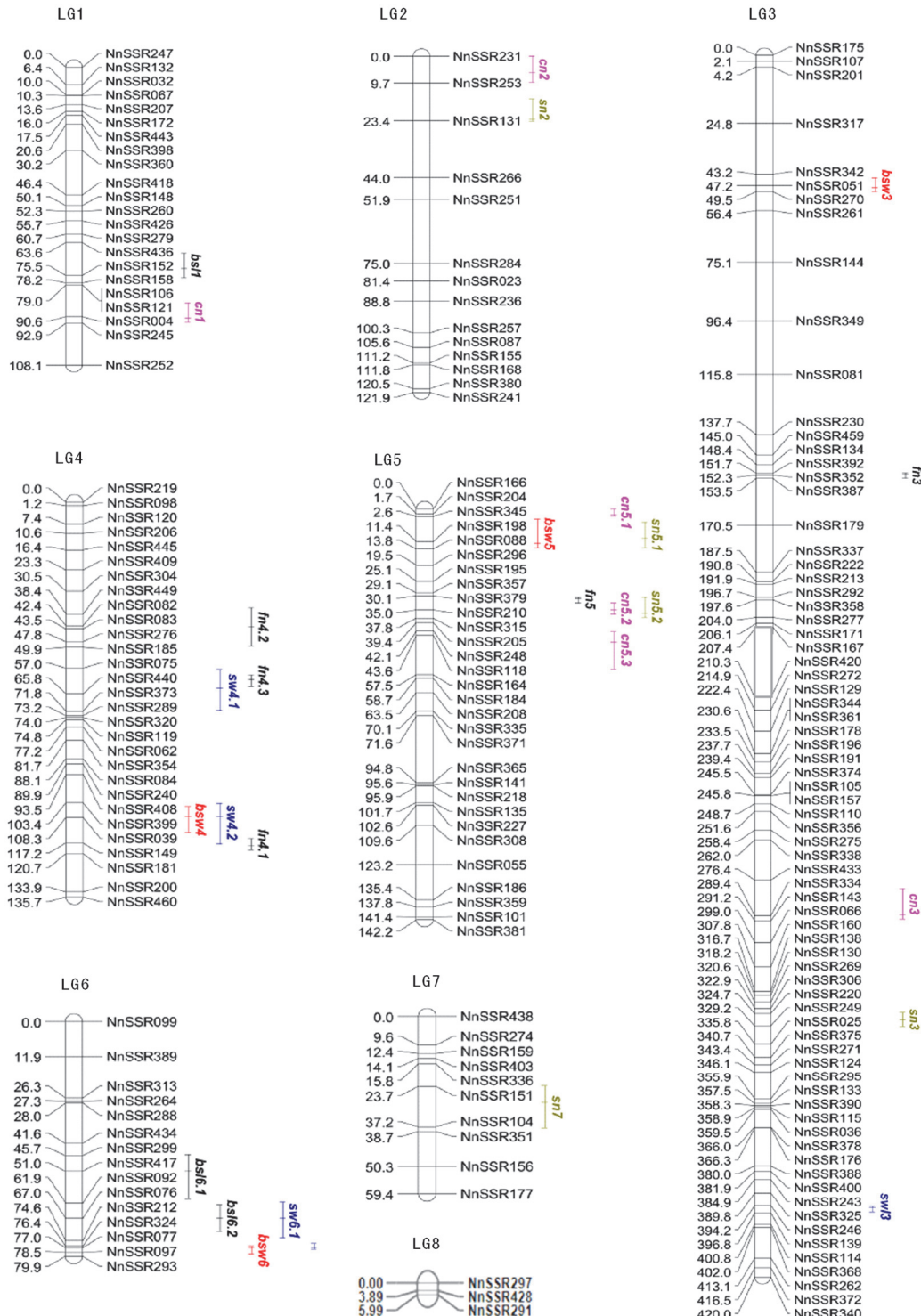


图 2 莲子产量相关性状 QTL 在连锁群上的分布  
Fig. 2 Distributions of seed yield-related traits QTLs on linkage map

### 2.3 莲子产量相关性状的 QTL 定位

调查了  $F_2$  群体 2017、2018 年莲子产量性状, 利用 QTL ICIMapping 软件对黑子期莲子长、莲子宽、单粒质量、开花数、心皮数、饱粒数等性状进行了 QTL 定位和分析(表 4, 图 2)。共检测到 28 个与莲子产量相关 QTL, 分布在 7 条连锁群上,  $LOD$  值介于 2.55 ~ 12.34 之间, 可解释 5.5% ~ 27.4% 的表型变异率。其中, 贡献率  $\geq 10$  的 QTL 位点 25 个, 占 QTL 位点总数 89.29%; 两年可重复检测的稳定 QTL 位点 4 个, 占 QTL 总数的 14.29%。在这些 QTL 位点中, 14 个位点加性效应为正值, 表现为增效加性效应; 其他为负值, 表现为减效加性效应。

表 4 莲子产量相关性状在  $F_2$  遗传群体中的 QTL 定位

Table 4 QTL analysis of lotus seed yield related-trait in  $F_2$  population

性状 Trait	QTL	年份 Year	连锁群 LG	位置/cM Position	左侧标记 Left	右侧标记 Right	染色体 Chr.	染色体区间 /Mbp Location	LOD	贡献率/% PVE	加性 效应 Add.
黑子期	<i>bsl1</i>	2017, 2018	1	73	NnSSR436	NnSSR152	6	37.43 ~ 28.58	8.17	13.10	0.02
莲子长	<i>bsl6.1</i>	2017	6	51	NnSSR299	NnSSR417	7	35.18 ~ 36.49	3.77	12.00	0.06
Black seed length	<i>bsl6.2</i>	2018	6	67	NnSSR092	NnSSR076	7	41.23 ~ 46.41	4.42	12.20	0.05
黑子期	<i>bsw3</i>	2018	3	48	NnSSR051	NnSSR270	8	11.28 ~ 09.65	3.66	18.10	- 0.04
莲子宽	<i>bsw4</i>	2018	4	108	NnSSR399	NnSSR039	2	36.46 ~ 24.34	3.28	13.50	0.02
Black seed width	<i>bsw5</i>	2017	5	12	NnSSR198	NnSSR088	3	94.98 ~ 93.89	3.24	12.70	- 0.04
单粒质量	<i>sw3</i>	2018	3	395	NnSSR246	NnSSR139	1	179.76 ~ 181.43	2.76	13.30	- 1.75
Single seed weight	<i>sw4.1</i>	2018	4	64	NnSSR075	NnSSR440	2	68.68 ~ 67.64	2.62	12.30	2.07
<i>sw4.2</i>	2018	4	108	NnSSR399	NnSSR039	2	36.46 ~ 24.34	3.32	15.10	6.61	
<i>sw6.1</i>	2017	6	67	NnSSR092	NnSSR076	7	41.23 ~ 46.41	4.09	20.50	10.75	
<i>sw6.2</i>	2018	6	77	NnSSR324	NnSSR077	7	55.26 ~ 55.89	4.76	21.90	8.84	
开花数	<i>fn3</i>	2018	3	152	NnSSR392	NnSSR352	1	24.07 ~ 23.46	4.98	13.00	7.64
Flower number	<i>fn4.1</i>	2017, 2018	4	118	NnSSR149	NnSSR181	2	17.17 ~ 14.71	12.3	17.60	- 0.96
<i>fn4.2</i>	2018	4	57	NnSSR075	NnSSR440	2	68.68 ~ 67.64	2.55	5.50	- 2.88	
<i>fn4.3</i>	2017	4	75	NnSSR119	NnSSR062	2	56.58 ~ 55.89	4.06	13.10	- 8.88	
<i>fn5</i>	2017, 2018	5	31	NnSSR379	NnSSR210	3	84.87 ~ 86.38	5.97	7.88	0.57	
心皮数	<i>cn1</i>	2017	1	91	NnSSR004	NnSSR245	6	4.27 ~ 6.11	3.37	12.00	- 2.44
Carpel number	<i>cn2</i>	2018	2	6	NnSSR231	NnSSR253	4	82.49 ~ 75.71	3.44	16.50	2.72
<i>cn3</i>	2018	3	289	NnSSR433	NnSSR334	1	90.99 ~ 94.73	2.59	10.00	1.47	
<i>cn5.1</i>	2017	5	2	NnSSR204	NnSSR345	3	102.39 ~ 101.19	6.37	24.40	- 3.02	
<i>cn5.2</i>	2018	5	35	NnSSR379	NnSSR210	3	84.87 ~ 86.38	5.73	27.40	- 3.67	
<i>cn5.3</i>	2017	5	46	NnSSR118	NnSSR164	3	76.69 ~ 68.92	4.95	19.60	- 2.86	
饱粒数	<i>sn2</i>	2017	2	23	NnSSR253	NnSSR131	4	75.71 ~ 69.09	4.53	15.50	- 1.43
Seed number	<i>sn3</i>	2017	3	327	NnSSR220	NnSSR249	1	129.37 ~ 131.12	3.33	12.70	1.01
<i>sn5.1</i>	2017	5	10	NnSSR345	NnSSR198	3	101.19 ~ 94.98	5.87	23.00	- 2.83	
<i>sn5.2</i>	2018	5	36	NnSSR210	NnSSR315	1	86.38 ~ 78.88	4.17	19.20	- 3.18	
<i>sn7</i>	2018	7	29	NnSSR151	NnSSR104	5	22.15 ~ 12.82	2.57	13.60	- 0.05	

黑子期莲子长鉴定到 3 个 QTL, 分布于 1 和 6 连锁群, 贡献率均在 10% 以上, 均表现为增效加性效应。其中 *bsl1* 连续两年均检测到, 介于标记 NnSSR436 ~ NnSSR152 之间, 可解释 13.10% 的表型变异率。

黑子期莲子宽鉴定到 4 个 QTL, 分布于 3、4、5 和 6 连锁群, 贡献率在 7.33% ~ 18.10% 之间, 含 2 个增效位点, 2 个减效位点。其中 *bsw6* 连续两年被重复检测, 介于标记 NnSSR324 ~ NnSSR077 之间, 可解释 7.33% 的表型变异率。

单粒质量鉴定到 5 个 QTL, 分布于 3、4 和 6 连锁群, 贡献率均在 10% 以上, 含 4 个增效位点, 1 个减效位点。其中, *sw4.2* 和 *sw6.2* 分别与黑子期莲子宽 QTL *bsw4* 和 *bsw6* 位置相同, 分别可解释

15.10% 和 21.90% 的表型变异率; *sw6.1* 与黑子期莲子长 *bsl6.2* 位置相同, 可解释 20.50% 的表型变异率。

莲子开花数鉴定到 5 个 QTL, 分布于 3、4 和 5 连锁群, 贡献率在 5.50% ~ 17.60%, 含 2 个增效位点, 3 个减效位点。其中 *fn4.1* 和 *fn5* 在两年被重复检测, 分别介于标记 NnSSR149 ~ NnSSR181 和 NnSSR379 ~ NnSSR210 之间, 贡献率分别为 17.60% 和 7.88%。

心皮数、饱粒数分别鉴定到 6 个和 5 个 QTL, QTL 位点贡献率均在 10.0% 以上。这两个性状未能检测到稳定 QTL, 可能与遗传力较低有关。

### 3 讨论

虽然莲在中国南方地区广泛种植, 但由于其为多年生大型水生植物, 以地下茎无性繁殖为主, 其单株年扩展面积可达 66 m<sup>2</sup> 以上。因此, 对自然群体或遗传群体的性状考察需大量水泥池等隔离设施, 成本高昂。因此, 目前仅有利用基因组、转录组、蛋白组或代谢组等方法研究莲地下茎、莲子、花色等发育过程或调控机制进行研究的报道 (程立宝 等, 2012; Deng et al., 2015; Yang et al., 2015; Hu et al., 2016; Wang et al., 2016)。本研究中首次尝试了利用正向遗传学对莲农艺性状进行 QTL 定位。

子莲产量由开花数、单莲蓬饱粒数和百粒质量三要素决定(陈舒启 等, 1994; 朱红莲 等, 2014), 莲子形状是决定子莲品质的重要性状。利用莲子圆柱形、短花期的‘中间湖野莲’和莲子圆球形、长花期的‘清迈野莲’构建的 F<sub>2</sub> 遗传群体, 成功鉴定到了 4 个可重复检测的稳定 QTL 位点, 其中莲子长、莲子宽各 1 个, 开花数 2 个。说明采用该遗传群体开展莲子形状和开花数性状的 QTL 定位是可行的。这些 QTL 位点将应用于子莲相关性状的分子标记开发。

本研究中检测到了 3 个与单粒质量相关的多效性 QTL 位点, 其中同时控制莲子宽和单粒质量性状 2 个, 分别位于第 4 和 6 连锁群 NnSSR399 ~ NnSSR039 和 NnSSR077 ~ NnSSR324 区间; 同时控制莲子长与单粒质量性状 1 个, 位于第 6 连锁群 NnSSR076 ~ NnSSR092 区间。相关性分析也表明单粒质量与莲子长、莲子宽在 F<sub>2</sub> 群体中表现为极显著正相关, 该结果从 QTL 水平进一步证实了莲子形状与单粒质量的相关性。

需要指出的是, 由于目前水泥池等研究条件的限制, 尚不具备大规模、多年多点开展群体性状调查的条件, 因此本研究的遗传群体数量较少, 且仅开展了两年性状定点调查。由于子莲相关性状主要受多基因控制, 遗传力较低, 导致一些 QTL 位点的稳定性较差, 如心皮数、饱粒数未能检测到重复性 QTL 位点。此外, 本研究利用了较低密度的 SSR 标记进行了 QTL 定位, 虽然 SSR 标记可靠性高且易于检测, 但随着测序技术发展和试验条件的改善, 构建更大规模遗传群体, 并采用高通量测序策略开发高密度分子标记, 开展相关性状精细定位将是下一步的研究方向。

### References

- Cheng Li-bao, Li Shu-yan, Li Yan, Yin Jing-jing, Chen Xue-hao, Li Liang-jun. 2012. Isolation and expressing profile analysis of enlarging related genes in lotus root rhizome. *Acta Agronomica Sinica*, 45 (16): 3330 – 3336. (in Chinese)
- 程立宝, 李淑艳, 李 岩, 尹静静, 陈学好, 李良俊. 2012. 莲藕根状茎膨大过程中淀粉合成相关基因的表达. 中国农业科学, 45 (16): 3330 – 3336.
- Cheng Shu-qi, Zhou Ming-quan, Hu Zhong-li, Fu Cong-yi. 1994. Analysis of yield components of seed lotus. *Tillage and Cultivation*, (2): 17 – 18. (in Chinese)

- 陈舒启, 周明全, 胡中立, 富从意. 1994. 子莲产量构成因素分析. 耕作与栽培, (2): 17 – 18.
- Deng J, Fu Z Y, Chen S, Damaris R N, Wang K, Li T T, Yang P F. 2015. Proteomic and epigenetic analyses of lotus (*Nelumbo nucifera*) petals between red and white cultivars. Plant and Cell Physiology, 56 (8): 1546 – 1555.
- Gui S T, Peng J, Wang X L, Wu Z H, Cao R, Salse J, Zhang H Y, Zhu Z X, Xia Q J, Quan Z W, Shu L P, Ke W D, Ding Y. 2018. Improving *Nelumbo nucifera* genome assemblies using high-resolution genetic maps and BioNano genome mapping reveals ancient chromosome rearrangements. Plant Journal, 94 (4): 721 – 734.
- Hu J H, Jin J, Qian Q, Huang K K, Ding Y. 2016. Small RNA and degradome profiling reveals miRNA regulation in the seed germination of ancient eudicot *Nelumbo nucifera*. BMC Genomics, 17 (1): 684.
- Ke Wei-dong, Li Feng. 2005. Descriptors and data standard for lotus (*Nelumbo nucifera* Gaertn.). Beijing: China Agriculture Press. (in Chinese)
- 柯卫东, 李 峰. 2005. 莲种质资源描述规范和数据标准. 北京: 中国农业出版社.
- Liu Z W, Zhu H L, Liu Y P, Kuang J, Zhou K, Liang F, Liu Z H, Wang D P, Ke W D. 2016. Construction of a high-density, high-quality genetic map of cultivated lotus (*Nelumbo nucifera*) using next-generation sequencing. BMC Genomics, 17 (1): 466.
- Meng L, Li H, Zhang L, Wang J. 2015. QTL IciMapping: integrated software for genetic linkage map construction and quantitative trait locus mapping in biparental populations. The Crop Journal, 3 (3): 269 – 283.
- Ming R, VanBuren R, Liu Y, Yang M, Han Y, Li L-T, Zhang Q, Kim M-J, Schatz M C, Campbell M, Li J, Bowers J E, Tang H, Lyons E, Ferguson A A, Narzisi G, Nelson D R, Crysten B E, Gschwend A R, Jiao Y, Der J P, Zeng F, Han J, Min X, Hudson K A, Singh R, Grennan A K, Karpowicz S J, Watling J R, Ito K, Robinson S A, Hudson M E, Yu Q, Mockler T C, Carroll A, Zheng Y, Sunkar R, Jia R, Chen N, Arro J, Wai C M, Wafula E, Spence A, Han Y, Xu L, Zhang J, Peery R, Haus M J, Xiong W, Walsh J A, Wu J, Wang M, Zhu Y J, Paull R E, Britt A B, Du C, Downie S R, Schuler M A, Michael T P, Long S P, Ort D R, Schopf J W, Gang D R, Jiang N, Yandell M, dePamphilis C W, Merchant S S, Paterson A H, Buchanan B B, Li S, Shen-Miller J. 2013. Genome of the long-living sacred lotus (*Nelumbo nucifera* Gaertn.). Genome Biology, 14: R41.
- Wang L, Fu J, Li M, Fragner L, Weckwerth W, Yang P. 2016. Metabolomic and proteomic profiles reveal the dynamics of primary metabolism during seed development of lotus (*Nelumbo nucifera*). Frontiers in Plant Science, 7: 750.
- Wang Y, Fan G, Liu Y, Sun F, Shi C, Liu X, Peng J, Chen W, Huang X, Cheng S, Liu Y, Liang X, Zhu H, Bian C, Zhong L, Lv T, Dong H, Liu W, Zhong X, Chen J, Quan Z, Wang Z, Tan B, Lin C, Mu F, Xu X, Ding Y, Guo A, Wang J, Ke W. 2013. The sacred lotus genome provides insights into the evolution of flowering plants. The Plant Journal, 76 (4): 557 – 567.
- Yang M, Han Y, VanBuren R, Ming R, Xu L, Han Y, Liu Y. 2012. Genetic linkage maps for Asian and American lotus constructed using novel SSR markers derived from the genome of sequenced cultivar. BMC Genomics, 13 (1): 653.
- Yang M, Zhu L, Pan C, Xu Li, Liu Y, Ke W, Yang P. 2015. Transcriptomic analysis of the regulation of rhizome formation in temperate and tropical lotus (*Nelumbo nucifera*). Scientific Reports, 5: 13059.
- Zhang Q, Li L, Van Buren R, Liu Y, Yang M, Xu L, Bowers J E, Zhong C, Han Y, Li S. 2014. Optimization of linkage mapping strategy and construction of a high-density American lotus linkage map. BMC Genomics, 15 (1): 372.
- Zhu Hong-lian, Ke Wei-dong, Liu Yu-ping, Peng Jing, Huang Lai-chun, Zhou Kai. 2014. Correlation and path analysis of main agronomic characters and yield of seed lotus. Chinese Vegetables, (3): 41 – 46. (in Chinese)
- 朱红莲, 柯卫东, 刘玉平, 彭 静, 黄来春, 周 凯. 2014. 子莲主要农艺性状与产量的相关及通径分析. 中国蔬菜, (3): 41 – 46.